

بارگذاری آنتیزن کایمر C-CfTXA-STxB زهر عروس دریایی در کوپلیمر سه بلوکه PLA-PEG-PLA و بررسی ایمنی‌زایی آن در موش سوری

حسین هنری^{*} (Ph.D)، سید مجتبی آقایی (Ph.D)، مهدی حسین‌زاده (M.Sc)

مرکز علم و فناوری زیست‌شناسی، دانشگاه جامع امام حسین(ع)، تهران، ایران

تاریخ دریافت: ۱۴۰۰/۳/۲۹

honari.hosein@gmail.com

* نویسنده مسئول، تلفن: ۰۹۱۲۳۸۴۸۱۸۷

چکیده

هدف: زهر عروس دریایی حاوی انواع پروتئین‌های فعال زیستی است که می‌تواند جهت تهیه واکسن مورد بررسی قرار گیرد. پلی‌لاکتیک‌اسید، پلیمر زیست تخریب‌پذیر می‌باشد که در سامانه‌های واکسن کاربرد دارد. هدف از این مطالعه کپسوله‌سازی پروتئین کایمر نوترکیب C-CfTX1-STxB زهر عروس دریایی در کوپلیمر سه بلوکه PLA-PEG-PLA و بررسی تیتر آنتی‌بادی و ایمنی‌زایی ایجاد شده در موش سوری می‌باشد.

مواد و روش‌ها: پس از تخلیص، تایید پروتئین توسط وسترن‌بلات انجام شد، سپس آنتیزن در کوپلیمر سه بلوکه با استفاده از روش تبخیر حلال بارگذاری و خصوصیات نانوذرات تهیه شده توسط میکروسکوپ الکترونی و پراش نور پویا مورد بررسی قرار گرفت. در ادامه آنتیزن کپسوله و آزاد به همراه ادجوانات فروند کامل و ناقص، PBS و PEG نانویی شده به موش‌های سوری در چهار نوبت به صورت زیر جلدی تزریق شد. در انتهای میزان آنتی‌بادی تولید شده در سرم به دست آمده از حیوان آزمایشگاهی به‌وسیله الایزا غیر مستقیم اندازه‌گیری شد و زنده‌مانی حیوانات ایمن شده در چالش با زهر عروس دریایی مورد بررسی قرار گرفت. یافته‌ها: نتایج بررسی نانوذرات تولیدی نشان داد که نانوذرات تهیه شده از کمیت و کیفیت خوبی بخوردارند. اندازه نانوذرات تولیدی ۱۷۶/۱ نانومتر و بازده کپسوله‌سازی پروتئین در نانوذرات برابر ۷۱ درصد بود. در انتهای نشان داده شد موش‌های ایمن شده پس از چالش با ۵۰ برابر LD₅₀ زهر عروس دریایی زنده ماندند و تیتر آنتی‌بادی تولیدی ارتباط مستقیمی با مقاومت حیوان آزمایشگاهی داشت.

نتیجه‌گیری: با توجه به عدم خاصیت کاردیوتوكسیستی و نوروتوکسیستی پروتئین نوترکیب C-CfTX1-STxB و همچنین نتایج به دست آمده می‌توان نانوذرات PLA-PEG-PLA را به عنوان حامل مناسب جهت تهیه واکسن علیه زهر عروس دریایی برای بررسی‌های بیشتر پیشنهاد داد.

واژه‌های کلیدی: واکسن‌ها، واکسن‌های Polylactide-polyethylene glycol-polylactide، Scyphozoa، Cnidarian Venoms.

دریایی جعبه‌ای دو پروتئین CFTX-1 و CFTX-2 با وزن مولکولی ۴۰ و ۴۲ کیلودالتون می‌باشند [۵]. زن CFTX دارای ۱۴۹۳ جفت باز، ۴۶۱ اسید آمینه و دارای mRNA خطی می‌باشد که پروتئینی به وزن مولکولی ۵۱ کیلو دالتون را کد می‌کند [۶]. در سال‌های اخیر نانوذرات و به ویژه نانوذرات پلیمری به عنوان سیستم‌های رسانش دارو و واکسن مورد توجه قرار گرفته‌اند. این حامل‌های کلوئیدی دارای قابلیت انتقال هدفمند و کنترل شده دارو و واکسن می‌باشند [۶]. پلی‌لاکتیک‌اسید PLA نوعی پلیمر زیست سازگار و زیست تخریب‌پذیر می‌باشد که از منابع تجدیدپذیر به دست می‌آید. می‌توان از طریق تغییر در ترکیب این پلیمر خواص آن را بهبود بخشید. برای مثال در رهایش کنترل شده واکسن و دارو می‌توان با اضافه کردن PEG (پلی‌اتیلن گلیکول) زمان رهایش را تغییر

مقدمه

عروض دریایی از خانواده بی‌مهرگان و از رده کیسه‌تنان می‌باشد. از میان ۲۰۰ گونه عروس دریایی، بیش از ۱۰۰ گونه برای انسان خطرناک تشخیص داده شده که از این میان خطرناک‌ترین گونه، عروس دریایی جعبه‌ای می‌باشد که بیش‌ترین آسیب را به انسان می‌رساند [۱]. سالیانه حدود ۱۵۰ میلیون مورد گزرش با عروس دریایی در سرتاسر جهان گزارش می‌شود [۲]. در سال ۱۳۹۲، ۳۰۵ مورد گزیدگی در آب‌های خلیج فارس توسط عروس دریایی گزارش شده است [۳]. گزرش توسط عروس دریایی یک تهدید جدی برای گردشگران و ماهیگیران بوده و از لحاظ اقتصادی و سلامت مهم می‌باشد [۴]. فراوان ترین پروتئین‌های موجود در نماتوسمیت عروس

الكل اضافه کرده و برای چند ثانية ورتکس و پس از آن سونوپلیکت انجام شد تا امولسیون W/O/W به دست آید. امولسیون حاصله به منظور تبخیر فاز آلی به مدت دو ساعت بر روی هم زن مغناطیسی هم زده شد تا نانوذرات حاصل شود. این نانوذرات به وسیله سانتریفیوژ با سرعت ۱۳۵۰۰ دور در دقیقه و به مدت ۲۰ دقیقه جمع آوری، شسته و لیوفیلیزه گردید. تعیین بازده کپسوله سازی آنتیژن: درصد پروتئین لود شده در نانوذرات تهیه شده به وسیله حل کردن نانوذرات در حلal آلی THF به دست آمد. محتوای پروتئین لود شده بعد از دو ساعت انکوباسیون در ۳۷ درجه سانتی گراد و سپس ۱۵ دقیقه سانتریفیوژ در ۱۳۵۰۰ دور به وسیله اسپکتروفوتومتر UV/VIS اندازه گیری شد.

بازده کپسوله سازی با استفاده از فرمول زیر محاسبه گردید:

$$EE = \frac{m}{m_0} \times 100\%$$

m_0 = میزان پروتئین اولیه، m = میزان پروتئین لود شده در نانوذرات

تعیین خصوصیات مورفو洛ژیکی و اندازه نانوذرات: مشخصات مورفو洛ژیکی نانوذرات با استفاده از میکروسکوپ الکترون روبشی مدل (KYKY-EM3200) مورد بررسی قرار گرفت. همچنین شاخص پراکندگی نانوذرات با استفاده از پراش نور پویا اندازه گیری شد.

تعیین تیتر آنتی بادی تولید شده عليه پروتئین آزاد و کپسوله شده با استفاده از الایزا غیر مستقیم: از موش های سوری به عنوان نمونه آزمون و شاهد به منظور تولید آنتی بادی استفاده شد. PBS به همراه ادجوانات فروند کامل و یا ناقص به عنوان شاهد، پروتئین نوترکیب به همراه ادجوانات فروند کامل و یا ناقص، نانوذرات PLA-PEG-PLA-C-CfTXA-STxB و نانوذرات شاهد PLA-PEG-PLA طی چهار نوبت به گروه های موشی به ترتیب روز اول (۲۰ میکروگرم)، روز چهارده (۱۵ میکروگرم)، روز بیست و هشتم (۱۰ میکروگرم) و روز چهل و دوم (۱۰ میکروگرم) به صورت زیر پوستی تزریق شد [۱۵]. خونگیری از موش ها یک هفته پس از تزریق دوم، یک هفته پس از تزریق سوم، یک هفته پس از تزریق چهارم و روز ۶۰ صورت پذیرفت. پس از جداسازی سرم از خون های جمع آوری شده، نمونه های سرمی در دمای منفی ۲۰ درجه سانتی گراد نگهداری گردید. برای بررسی تیتر آنتی بادی IgG در سرم موش های ایمن شده از روش الایزا غیرمستقیم استفاده شد.

(جدول ۱)

داد. از سوی دیگر PEG دارای مزایایی فراوانی مانند آب دوستی خوب، انعطاف پذیری، آنتی فاگوسیتوز علیه ماکروفازها و سازگاری با محیط زیست می باشد [۶، ۷]. حاصل تخریب کوپلیمر پلی لاکتیک اسید می تواند به چرخه اسید تری کربوکسیلیک وارد شده و از کلیه خارج شود [۸]. استفاده از PEG می تواند بارگذاری را افزایش، اثرات مضر را کاهش و زمان ماندگاری واکسن و دارو را طولانی تر کند [۹]. توبیو و همکاران در سال ۱۹۹۸ در بررسی نقش انتقالی نانوذرات PLA و PLA-PEG نشان دادند که در هنگام استفاده از نانوذرات PLA-PEG نسبت به PLA تیتر آنتی بادی بالاتر بود [۱۰]. یانگ و همکاران در سال ۲۰۱۱ اثر کوپلیمر PLA-PEG-PLA-PLA-PEG-PLA با آنتیژن HCV را به عنوان یک کاندید واکسن دهانی بررسی کردند و اعلام نمودند که این کوپلیمر با یک تزریق دارای اثرات ایمنی زایی طولانی مدت می باشد [۱۱]. ژانگ و همکاران در سال ۲۰۱۴ طی بررسی های انجام شده کوپلیمر های -PEG PLGA را کاندید مناسبی جهت سازه های میسلی به عنوان حامل داروهای نامحلول معرفی کردند [۱۲]. با توجه به صدمات ناشی از سم عروس دریابی و نظر به اهمیت درمانی آن هدف از این مطالعه بررسی ایمنی زایی و ارزیابی تیتر آنتی بادی تولیدی علیه پروتئین نوترکیب آزاد و کپسوله شده توسط کوپلیمر های سه بلوک PLA-PEG-PLA در موش سوری می باشد.

مواد و روش ها

باکتری حاوی ناقل بیانی زن C-cftx1-stxB از مرکز علم و فناوری زیست شناسی دانشگاه جامع امام حسین (ع) تهیه گردید. زن های خالص سازی پروتئین نوترکیب C-CfTXA-STxB: پس از بیان پروتئین نوترکیب C-CfTXA-STxB در باکتری E. coli آنتی زن تولیدی توسط ستون نیکل خالص سازی شد. پس از خالص سازی، پروتئین نوترکیب تولید شده توسط وسترن بلات تایید شد [۱۳].

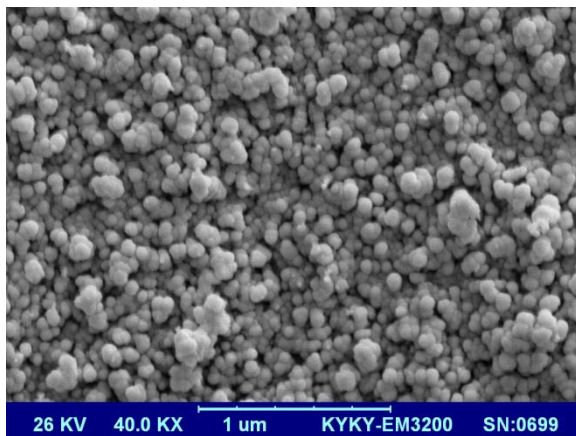
کپسوله سازی پروتئین نوترکیب در کوپلیمر سه بلوک PLA-PEG-PLA با استفاده از روش تبخیر حلال: آنتی زن نوترکیب C-CfTXA-STxB توسط پلیمر سه بلوک PLA-PEG-PLA با استفاده از روش تبخیر حلال کپسوله شد [۱۴]. برای این هدف ابتدا ۲۰ میلی گرم از پلیمر PLA-PEG-PLA به دو میلی لیتر فاز آلی THF اضافه شد. پس از حل شدن کامل پلیمر به مدت یک ساعت با سرعت ۳۵۰ دور در دقیقه، فاز آبی حاوی یک میلی گرم پروتئین به صورت قطره قطره به فاز آلی اضافه شد. امولسیون W/O به دست آمده را به فاز آبی حاوی پلی وینیل

جدول ۱. گروه‌ها، زمان و مقدار پروتئینی غیر بارگذاری شده تزریقی در مراحل ایمن سازی

روش تزریق	تعداد موشهای در هر گروه	تزریق				پروتئین تزریقی	نمره
		۴۲ روز	۲۸ روز	۱۴ روز	روز اول		
زیرپوستی	۵ سر در هر گروه	+ ادجوانات ناقص	+ ادجوانات ناقص	+ ادجوانات کامل	+ ادجوانات کامل	C-CfTXA-STxB	۱
		+ + + +	+ + + +	+ + + +	+ + + +	C-CfTXA-STxB بارگذاری شده در نانوذرات-PEG-PLA	۲
		+ + +	+ + +	+ + +	+ + +	PLA-PEG-PLA	۳
		+ + +	+ + +	+ + +	+ + +	PBS	۴

در نانوذرات PLA-PEG-PLA-C-CfTXA-STxB ۷۱ درصد بود.

تعیین توزیع اندازه و شاخص پراکندگی نانوذرات: با استفاده از DLS اندازه و خصوصیات ذرات در محلول به دست آمد. با تهیه کوپلیمر PLA-PEG-PLA حاوی آنتیژن-C-CfTX1-STxB و بررسی ویژگی‌های آن مشخص گردید که ذرات دارای متوسط اندازه ۱۷۶/۱ نانومتر هستند. میزان شاخص پراکندگی نانوذرات تهیه شده برابر ۰/۶۵ می‌باشد (شکل ۲).



شکل ۲. تصویر میکروسکوپ الکترونی SEM نانوذرات تهیه شده به روش تبخیر حلal.

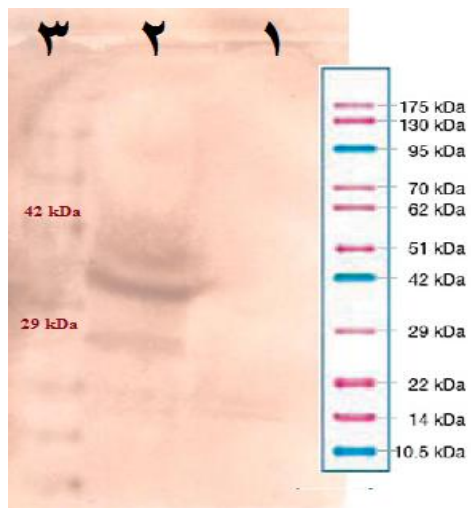
الگوی رهایش آنتیژن C-CfTX1-STxB در محیط آزمایشگاهی: میزان رهایش C-CfTX1-STxB بعد از ۳۰ روز میزان ۴۹/۶ درصد بوده است (شکل ۳).

بررسی تیتر آنتی‌بادی به روش الایزای غیر مستقیم: به منظور ارزیابی تیتر آنتی‌بادی تولید شده و محاسبه میزان آن در هر مرحله تزریق از روش الایزای غیر مستقیم استفاده شد. بعد از جداسازی سرم آزمایش الایزا انجام شد. نمودار میانگین تیتر آنتی‌بادی تولیدی در هر مرحله در شکل ۴، ۵، ۶ و ۷ نشان داده شده است. اختلاف تیتر آنتی‌بادی تولیدی بین گروه‌های تزریقی و کنترل معنی‌دار بوده است ($P < 0.05$).

آنالیز آماری. برای بررسی آماری داده‌های حاصل از تیتر آنتی‌بادی تولید شده توسط الایزای غیرمستقیم در سرم، از آزمون‌های ANOVA و T-test استفاده شد. این آزمون برای مقایسه میانگین تیتر آنتی‌بادی نمونه‌ها (آزمون دانکن برای بررسی اختلاف بین گروه‌ها) در سطح خطای پنج درصد و با استفاده از نرم‌افزار SPSS نسخه ۲۴ انجام شد.

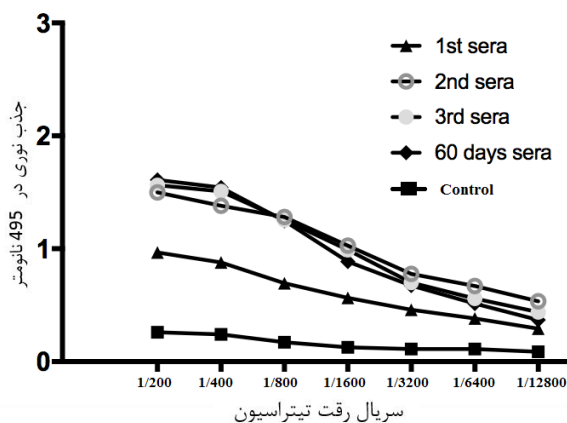
نتایج

تائید پروتئین نوترکیب C-CfTXA-STxB با استفاده از وسترن‌بلات: پس از انجام این آزمون، رنگ‌پذیری کاغذ نیتروسلولز در مقابل باند محدود ۳۲ کیلو دالتونی نشانگر مولکولی پروتئین انجام شد (شکل ۱).

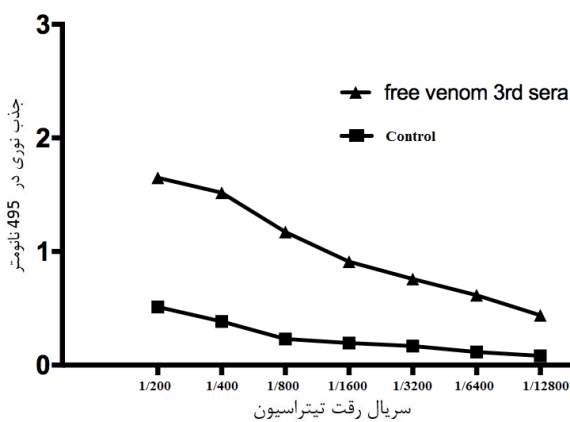


شکل ۱. تصویر آنالیز وسترن بلات تائید آنتیژن کایمیر-C-CfTX1-STxB: ردیف ۱: BSA به عنوان شاهد منفی. ردیف ۲: باند متعلق به آنتیژن C-CfTX1-STxB تخلیص شده از روی ژل. باند رنگ گرفته در ردیف ۲ متناظر با باند محدود ۳۲ کیلو دالتون نشانگر مولکولی پروتئین می‌باشد. ردیف ۳: نشانگر مولکولی پروتئین.

تعیین بازده کپسوله‌سازی آنتیژن: پس از ساخت نانوذرات بازده کپسوله‌سازی آنتیژن محاسبه شد. بر اساس نتایج به دست آمده بازده کپسوله‌سازی آنتیژن نوترکیب C-CfTXA-STxB



شکل ۶. نمودار بررسی تیتر آنتی‌بادی IgG تولید شده یک هفته پس از چهارمین تزریق (سرم حاصل از خون‌گیری سوم) در موش سوری علیه نمونه زهر عروس دریایی آزاد تزریقی به همراه ادجوانت.

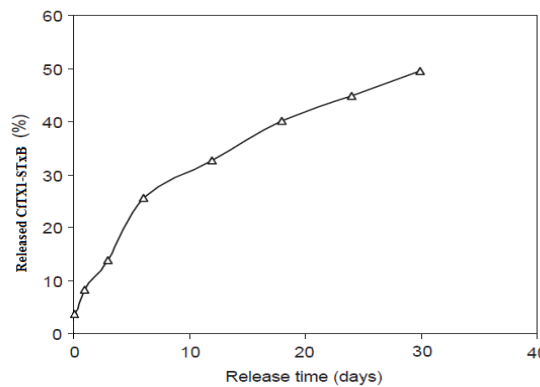


شکل ۷. نمودار بررسی تیتر آنتی‌بادی IgG تولید شده یک هفته پس از چهارمین تزریق (سرم حاصل از خون‌گیری سوم) در موش سوری علیه زهر عروس دریایی کپسوله.

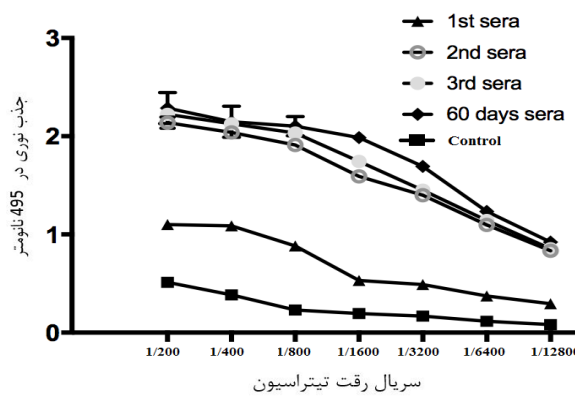
چالش موش‌های ایمن با استفاده از زهر خام عروس دریایی: پس از استحصال زهر خام عروس دریایی و پس از محاسبه میزان نیمه دُزکشندۀ (LD₅₀، سم با غلظت ۵۰ برابر به موش‌های ایمن شده تزریق شد. نتایج چالش مقاومت موش‌ها را نشان داد [۱۶].

بحث و نتیجه‌گیری

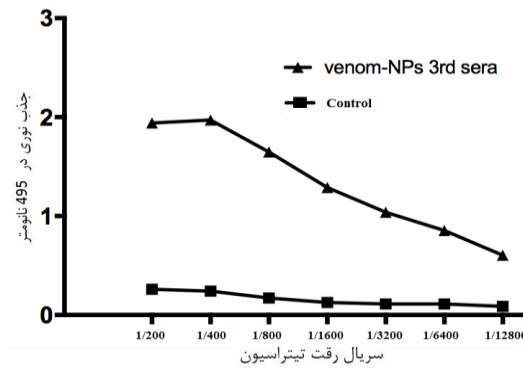
پیجدگی زهر CfTX عروس دریایی نشان‌دهنده یک چالش درمانی منحصر به فرد هست که نیاز به ابداع روش‌های درمانی و پیشگیری را یادآوری می‌کند. در حال حاضر بخش عمده‌ای از اطلاعات در مورد زهر کیسه‌قنان از شقاریق دریایی و مرجان نرم به دست آمده و اطلاعات کمتری مربوط به عروس دریایی وجود دارد [۱۷، ۱۸]. بنابراین ارزشمند هست که زهر عروس دریایی با هدف درمانی، برای درمان گزیدگی یا



شکل ۳. پروفایل رهایش آنتیژن C-CfTXA-STxB از نانوذرات در محیط آزمایشگاهی. هشت درصد پروتئین کپسوله شده در روز اول رهایش پیدا کرد و میزان رهایش در روز ۷، ۲۱، ۲۵ و ۳۰ به ترتیب ۷، ۲۵، ۴۱ و ۴۹,۶٪ بوده است.



شکل ۴. نمودار بررسی تیتر آنتی‌بادی IgG تولید شده علیه نمونه آنتیژن C-CfTXA-STxB آزاد به همراه ادجوانت.



شکل ۵. نمودار بررسی تیتر آنتی‌بادی IgG تولید شده علیه آنتیژن CfTXA-STxB کپسوله شده.

به خصوصیات فیزیکوشیمیابی PLA-PEG-PLA، نتایج الیزا در خونگیری دوم و سوم و ۶۰ روزه و نتایج هنری و همکاران در سال ۱۴۰۰ و یانگ و همکاران در سال ۲۰۱۱ [۲۲، ۱۱]. با کاهش تعداد دوزهای تزریقی مورد استفاده می‌توان به اینمی‌زایی مورد نظر رسید.

نتایج تیتر آنتی‌بادی نشان داد در گروه‌های تزریقی میزان تیتر آنتی‌بادی IgG در هر مرحله افزایش یافته است و گروه کنترل و نانوذرات شاهد فقد آنتی‌زن تیتر آنتی‌بادی قابل توجهی را نشان ندادند. اختلاف تیتر آنتی‌بادی تولیدی بین گروه‌های تزریقی و کنترل معنی‌دار بوده است ($P < 0.05$). در ادامه چالش C-CfTX1-STxB موش‌های نژاد سوری توسط آنتی‌زن کایمیر PLA-PEG-PLA به شکل آزاد و بارگذاری شده در نانوذرات آنتی‌بادی حاکی از نتایج موفقیت‌آمیز بود. چنان‌که موش‌ها تا ۵۰ برابر متوسط دوز کشende را تحمل کردند. اختلاف میزان تیتر آنتی‌بادی IgG به شکل آزاد و بارگذاری شده ناشی از آزاد شدن پایدار آنتی‌زن به‌وسیله ادجوانات و نانوذره می‌باشد. رهایش آنتی‌زن به‌وسیله ادجوانات در مدت زمان کوتاه ۴۵ روزه بهتر از آنتی‌زن به‌وسیله نانوذره بوده ولی با مطالعه آن در زمان طولانی عملکرد متغیر نانوذره نسبت (بدلیل رهایش طولانی مدت) به ادجوانات بهتر خواهد بود. در انتهای با توجه به عدم خاصیت کاردیوتوکسیستی و نوروتوكسیستی پروتئین نوترکیب C-CfTX1-STxB و همچنین نتایج به دست آمده می‌توان نانوذرات PLA-PEG-PLA را به عنوان حامل مناسب جهت تهیه واکسن علیه زهر عروس دریابی برای بررسی‌های بیشتر پیشنهاد داد.

تشکر و قدردانی

از تمامی استادی، پژوهشگران و همکاران محترم در دانشگاه جامع امام حسین (ع)، که در به نتیجه رسیدن این تحقیق تلاش فراوان کرده‌اند، تشکر و سپاس‌گزاری می‌شود.

مشارکت و نقش نویسنده‌گان

آقای حسین هنری: نویسنده مسئول مقاله، ارائه طرح اصلی و صاحب پژوهه طرح. آقای سید مجتبی آقایی: جمع‌آوری داده‌ها و نگارش مقاله و همکار طرح. آقای مهدی حسین‌زاده: کمک در انجام طرح و کارهای آزمایشگاهی و دانشجوی مقطع کارشناسی ارشد مرکز.

منابع

[1] Brinkman DL, Konstantakopoulos N, McInerney BV, Mulvenna J, Seymour JE, Isbister GK, Hodgson WC. Chironex fleckeri (Box Jellyfish) venom proteins. *J Biol Chem* 2014; 289: 4798-4812.

نیش‌زدگی و یا به عنوان ترکیباتی برای طراحی دارو مورد استفاده قرار گیرد [۴]. اغلب مطالعات انجام شده برای درمان گریدگی عروس دریابی با هدف تولید پادزه را انجام شده است. تهیه پادزه یکی از راههای درمانی در مقابل زهر عروس دریابی می‌باشد، اما این درمان دارای مشکلاتی است. دلایل زیادی برای عدم تاثیر مناسب پادزه وجود دارد که یکی از مهم‌ترین آن‌ها، تاثیر سریع زهر و کاردیوتوکسیک و نوروتوكسیک بودن و نوم عروس دریابی می‌باشد که استفاده از اینمی غیر فعال برای آن موضوعیت ندارد [۱۷]. قسمت ۵۷۶ جفت‌بازی پروتئین-1 CfTX-1 زهر عروس دریابی به عنوان یک ایمونوژن غالب مطرح می‌باشد و می‌توان آن را به عنوان کاندید واکسن نوترکیب مورد بررسی قرار داد [۲۳، ۲۱]. پایداری آنتی‌بادی طی مراحل مختلف و تحت شرایط فیزیولوژیک برای استفاده موفقیت‌آمیز از آن در بحث درمان از طریق اینمی غیرفعال بسیار اهمیت دارد. در طی دهه اخیر، استفاده از نانومواد در کاربردهای وسیعی از حوزه‌های متعدد پزشکی به سرعت توسعه یافته است که یکی از این حوزه‌ها طراحی سامانه‌های واکسن و دارورسانی ویژه مبتنی بر حامل‌های نانویی می‌باشد [۱۹، ۲۰]. این حامل‌های نانو دارای قابلیت انتقال هدفمند و کنترل شده دارو و واکسن و همچنین کاربرد در تخمین زده می‌شود که ۴۰ درصد داروهایی که ساخته می‌گردد در آب نامحلول هستند که این امر کاربرد ترکیبات را به دلیل دسترسی پایین زیستی آن‌ها، محدود می‌کند [۵]. نانوذرات پلیمری که برای سیستم‌های دارورسانی به کار می‌روند لازم است از پلیمرهای زیست تخریب‌پذیر و زیست سازگار تشکیل شده و دارای اندازه ذرات معین و توزیع اندازه مناسبی باشند تا حامل دارویی عملکرد مناسبی داشته باشند و پس از رهایش دارو بتواند به راحتی از بدن دفع شود [۷، ۲۲]. چنین ویژگی‌هایی باعث بهبود اثر درمانی بک دارو و کاهش سمیت و اثرات جانبی آن می‌گردد. پس از بررسی ویژگی‌های پلیمرهای طبیعی متعدد و ارزیابی عملکرد آن‌ها در دارورسانی کنترل شده از طریق مسیر زیرجلدی کوپلیمر سه بلوکه PLA-PEG-PLA جهت کپسوله‌سازی کاندید واکسن مورد نظر انتخاب گردید. این پلیمر به سبب ویژگی‌های متعدد و منحصر به‌فردی که دارد می‌تواند انتخاب مناسبی برای رهایش کنترل شده و تحریک پاسخ اینمی باشد. کامس و همکاران با اتصال مولکول اندوکولیدین به انتهای زنجیره PEG-PLA رویکرد جدیدی برای توسعه سیستم‌های تحویل آنتی‌زن را بررسی کردند [۲۲]. در این پژوهش بارگذاری پروتئین نوترکیب در کوپلیمر سه بلوکه PLA-PEG-PLA با استفاده از روش تبخیر حلال نتایج مناسبی را نشان داد. با توجه

- delivery applications. *J Control Release* 2014; 183: 77-86.
<https://doi.org/10.1016/j.jconrel.2014.03.026>
PMid:24675377
- [13] Honari H, Aghaei SM, Hosseinzadeh M. Subcloning and expression of the chimeric antigen C-CfTX1-STxB of the jellyfish venom and its antigenicity assessment in syrian mice. *J Ilam Univ Med Sci* 2019; 27: 24-36. (Persian).
<https://doi.org/10.29252/sjimu.27.5.24>
- [14] Locatelli E, Comes Franchini M. Biodegradable PLGA-b-PEG polymeric nanoparticles: Synthesis, properties, and nanomedical applications as drug delivery system. *J Nanopart Res* 2012; 14: 1-7.
<https://doi.org/10.1007/s11051-012-1316-4>
- [15] Honari H, Minaei M, Mirhaj H, Etemad- Ayoubi M. Antibody titers of PEG-PLA block copolymer nanosphere containing chimeric recombinant protein of protective antigen and lethal factor of Bacillus anthracis. *Koomesh* 2021; 23: 441-448. (Persian).
<https://doi.org/10.52547/koomesh.23.4.441>
- [16] Jafari H, Honari H, Zargan J, Tamadoni Jahromi S. Extraction the venom of Rhopilema nomadica from the Persian Gulf coast and the investigation of its hemolytical activity. *Yafte* 2019; 21: 86-95. (Persian).
- [17] Isbister GK. Antivenom efficacy or effectiveness: The Australian experience. *Toxicology* 201; 268: 148-154.
<https://doi.org/10.1016/j.tox.2009.09.013>
PMid:19782716
- [18] Mariottini GL. Hemolytic venoms from marine cnidarian jellyfish-an overview. *J Venom Res* 2014; 5: 22-32.
- [19] Singh NA, Mandal AK, Khan ZA. Fabrication of PLA-PEG nanoparticles as delivery systems for improved stability and controlled release of catechin. *J Nanomaterials* 2017; 2017.
<https://doi.org/10.1155/2017/6907149>
- [20] Xiao RZ, Zeng ZW, Zhou GL, Wang JJ, Li FZ, Wang AM. Recent advances in PEG-PLA block copolymer nanoparticles. *Int J Nanomedicine* 2010; 5: 1057-1065.
<https://doi.org/10.2147/IJN.S14912>
PMid:21170353 PMCid:PMC3000205
- [21] Ding Y, Feng W, Lu B, Wang P, Wang G, Ji J. PLA-PEG-PLA tri-block copolymers: Effective compatibilizers for promotion of the interfacial structure and mechanical properties of PLA/PBAT blends. *Polymer* 2018; 146: 179-187.
<https://doi.org/10.1016/j.polymer.2018.05.037>
- [22] Manish M, Rahi A, Kaur M, Bhatnagar R, Singh S. A Single-Dose PLGA encapsulated protective antigen domain 4 nanoformulation protects mice against bacillus anthracis spore challenge. *PLoS One* 2013; 8: 0061885.
<https://doi.org/10.1371/journal.pone.0061885>
PMid:23637922 PMCid:PMC3639271
- [23] Honari H, Aghaei SM, Jalilpour H. Immunogenicity of N-CfTX-2 antigen of chironex fleckeri jellyfish in mice. *Qom Univ Med Sci J* 2018; 12: 47-57. (Persian).
<https://doi.org/10.29252/qums.12.9.47>
- <https://doi.org/10.1074/jbc.M113.534149>
PMid:24403082 PMCid:PMC3931041
- [2] Currie BJ. Marine antivenoms. *J Toxicol Clin Toxicol* 2003;41(3):301-8. PubMed
<https://doi.org/10.1081/CLT-120021115>
PMid:12807313
- [3] IRNA news magazine, News Date: 2014/01/26, Tehran "Director of public relation and relief organization of the red crescent society warned the Persian gulf travelers about the Nowruz. from the beginning of Nowruz, 305 passengers and tourists have been swimming in the glacial waters of the Persian Gulf On the beaches of the cities of Konarak and Chabahar were selected by the Sea of Jucas". the code is: 80597606 (3226534) (Persian).
- [4] Alam MJ, Ashraf KU. Prediction of an epitope-based computational vaccine strategy for gaining concurrent immunization against the venom proteins of australian box jellyfish. *Toxicol Int* 2013; 20: 235-253.
<https://doi.org/10.4103/0971-6580.121677>
PMid:24403734 PMCid:PMC3877492
- [5] Brinkman D, Konstantakopoulos N, McInerney M, Mulvenna J, Seymour J, Isbister G, Hodgson WC. Chironex fleckeri (box jellyfish) venom proteins: expansion of a cnidarian toxin family that elicits variable cytolytic and cardiovascular effects. *J Biol Chem* 2014; 289: 4798-4812.
<https://doi.org/10.1074/jbc.M113.534149>
PMid:24403082 PMCid:PMC3931041
- [6] Kim K, Yu M, Zong X, Chiu J, Fang D, Seo YS, et al. Control of degradation rate and hydrophilicity in electrospun non-woven poly (D,L-lactide) nanofiber scaffolds for biomedical applications. *Biomaterials* 2003; 24: 4977-4985.
[https://doi.org/10.1016/S0142-9612\(03\)00407-1](https://doi.org/10.1016/S0142-9612(03)00407-1)
- [7] Kumari A, Yadav SK, Yadav SC. Biodegradable polymeric nanoparticles based drug delivery systems. *Colloids Surf B Biointerfaces* 2010; 75: 1-18.
<https://doi.org/10.1016/j.colsurfb.2009.09.001>
PMid:19782542
- [8] Ignatius AA, Claes LE. In vitro biocompatibility of bioresorbable polymers: poly (L,D,L-lactide) and poly (L-lactide-co-glycolide). *Biomaterials* 1996; 17: 831-839.
[https://doi.org/10.1016/0142-9612\(96\)81421-9](https://doi.org/10.1016/0142-9612(96)81421-9)
- [9] Lee BK, Yun Y, Park K. PLA micro- and nanoparticles. *Adv Drug Deliv Rev* 2016; 107: 176-191.
<https://doi.org/10.1016/j.addr.2016.05.020>
PMid:27262925 PMCid:PMC5133193
- [10] Tobío M, Sánchez A, Vila A, Soriano II, Evora C, Vila-Jato JL, Alonso MJ. The role of PEG on the stability in digestive fluids and in vivo fate of PEG-PLA nanoparticles following oral administration. *Colloids Surf B Biointerfaces* 2000; 18: 315-323.
[https://doi.org/10.1016/S0927-7765\(99\)00157-5](https://doi.org/10.1016/S0927-7765(99)00157-5)
- [11] Yang Y, Kuang Y, Liu Y, Li W, Jiang Z, Xiao L, Li M. Immunogenicity of multiple-epitope antigen gene of HCV carried by novel biodegradable polymers. *Comp Immunol Microbiol Infect Dis* 2011; 34: 65-72.
<https://doi.org/10.1016/j.cimid.2010.02.003>
PMid:20542567
- [12] Zhang K, Tang X, Zhang J, Lu W, Lin X. PEG-PLGA copolymers: their structure and structure-influenced drug

C-CfTXA-STxB chimeric antigen loading in PLA-PEG-PLA tri-block copolymers and its immunization in mice

Hosein Honari (Ph.D)^{*}, Seyed Mojtaba Aghaie (Ph.D), Mahdi Hoseinzadeh (M.Sc)

-Department of Biology, Biology Research Center, Imam Hossein Comprehensive University, Tehran, Iran

* Corresponding author. +98 9123848187

honari.hosein@gmail.com

Received: 19 Jun 2021; Accepted: 6 Dec 2021

Introduction: The venom of Jellyfish venom contains a variety of bioactive proteins that can be studied for vaccine application. Poly-Lactic Acid is a biodegradable polymer that is used in vaccine systems. The aim of this study was to encapsulate the C-CfTX1-STxB protein into PLA-PEG-PLA three-block copolymer and its immunogenicity study in mice.

Materials and Methods: After purification, the protein was confirmed by Western Blot. Then, the antigen was loaded in the three-block copolymer using the solvent evaporated method and prepared nanoparticles characteristics by SEM electron microscopy and DLS. Following encapsulated and free antigen with complete and incomplete adjuvant, PBS and PLA-PEG-PLA nano were injected subcutaneously into the mice four times. In the end, the amount of antibody produced was measured by indirect ELISA and the survival of immunized animals against challenges by jellyfish venom was studied.

Results: The results showed that the prepared nanoparticles have good quality and quantity. The size of the nanoparticles was 176.1 nm and the protein encapsulation efficiency was 71%. In the end, it was shown that immunized mice survived the challenge with the venom and the production of antibody titers was directly related to laboratory animal resistance.

Conclusion: Regarding the lack of cardiotoxicity and neurotoxicity of the recombinant C-CfTX1-STxB protein, as well as the results, PLA-PEG-PLA nanoparticles could be suggested as suitable carriers for the preparation of a vaccine against jellyfish venom for further investigation.

Keywords: Vaccine, Polylactide-polyethylene glycol-polylactide, Scyphozoa. Cnidarian Venoms